

**ПРОВ 2010**

АКАДЕМИЯ НАУК УКРАИНСКОЙ ССР  
ОРДENA ТРУДОВОГО КРАСНОГО ЗНАМЕНИ  
ИНСТИТУТ БИОЛОГИИ ЮЖНЫХ МОРЕЙ  
им. А. О. КОВАЛЕВСКОГО

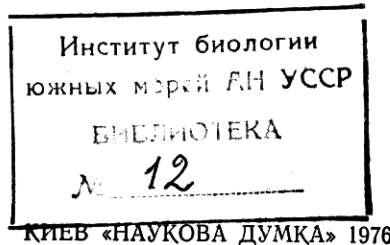
# БИОЛОГИЯ МОРЯ

РЕСПУБЛИКАНСКИЙ МЕЖВЕДОМСТВЕННЫЙ СБОРНИК

Основан в 1965 г.

ВЫПУСК 37

ПРОДУКЦИЯ И МЕТАБОЛИЧЕСКИЕ ПРОЦЕССЫ  
У МОРСКИХ ОРГАНИЗМОВ



В сосудах объемом 0,04 л, в которых чаше всего производят определение величин поглощаемого кислорода, двигательная активность каланусов и гребневиков в ходе 4-часового опыта снижается незначительно: у калануса — на 3%, у гребневиков — на 7% (рис. 4). Учитывая, что соотношение времени, затрачиваемого на активное поступательное движение, и времени, когда таковое не наблюдается, в аквариумах объемом 0,04 л было

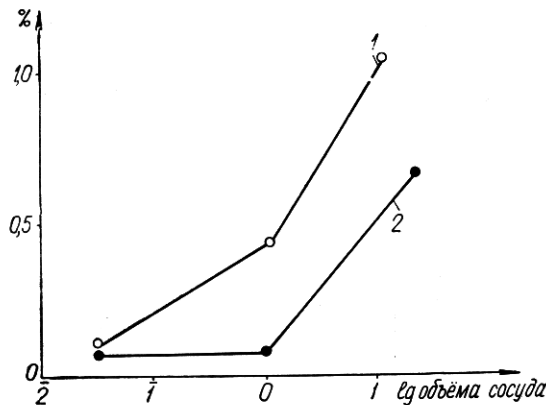


Рис. 3. Отношение времени, затрачиваемого на поступательное движение, ко времени, когда такого не наблюдается (%) в зависимости от объема аквариума (л):  
1 — *Calanus helgolandicus*, 2 — *Pleurobrachia rhodopis*.

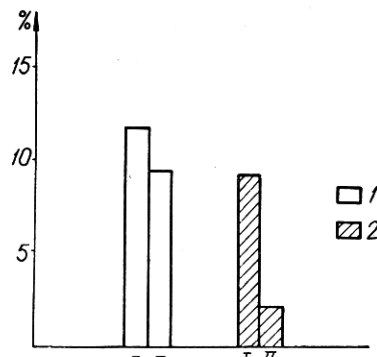


Рис. 4. Изменение времени, расходуемого на поступательное движение (%) у *C. helgolandicus* (1) и *P. rhodopis* (2) в первый (I) и четвертый час (II) пребывания в сосуде, объемом 0,04 л.

оценено как 0,2 : 1,8, можно считать, что оба вида животных в этих сосудах вообще малоподвижны. Получаемые в таких объемах воды величины потребляемого каланусами и гребневиками кислорода могут поэтому отражать примерные энергетические расходы, более близкие к величине основного обмена.

#### ЛИТЕРАТУРА

- Наумов Д. В. Тип Стенофлага.— В кн.: Определитель фауны Черного и Азовского морей. К., «Наукова думка», 1968.  
Павлова Е. В., Царева Л. В. Движение *Calanus helgolandicus* Claus по данным киносъемки.— В кн.: Биология моря, вып. 33. К., «Наукова думка», 1975.

Институт биологии южных морей  
АН УССР, Севастополь

Поступила в редакцию  
23.XII 1974 г.

С. Г. А фрикова

#### О СУТОЧНЫХ ВЕРТИКАЛЬНЫХ МИГРАЦИЯХ ЧЕРНОМОРСКОГО PSEUDOCALANUS ELONGATUS (BOECK)

Известно, что *P. elongatus*, как многие другие, особенно батипланктонные виды копепод, ежесуточно совершает вертикальные миграции, поднимаясь вечером в верхние слои для питания и размножения и опускаясь утром в более глубокие воды. Одной из важных характеристик миграции является скорость движения раков. Обычно она определяется исходя из пространственного распределения раков и характера его изменения в течение суток. Литературные сведения по скорости движения ракообразных

в море немногочисленны (Лукьянова, 1938, 1940; Шулейкин и др., 1939; Ивлев, 1963; Петипа, 1966; Рудяков, 1972; Рудяков, Воронина, 1973, и др.), а для *P. elongatus* они вообще отсутствуют.

Задачей нашей работы являлось определение скорости и амплитуды вертикальных перемещений при миграциях всех возрастных стадий *P. elongatus*. Этот вид, широко распространенный в Мировом океане, создавая большую биомассу, играет существенную роль в системе пищевых взаимоотношений организмов и в круговороте органического вещества пелагиали Черного моря (Африкова, 1975).

## МАТЕРИАЛ И МЕТОДИКА

Материал собран на трех суточных станциях в период многосугодичной якорной стоянки в июне 1959 г. в центральной части западной половины Черного моря ( $43^{\circ}04', 5$  с. ш.;  $30^{\circ}56', 0$  в. д.). В связи с тем, что сборы проб проводились в центре галистатической области, где течения практически отсутствовали и не наблюдался приток вод из прибрежных районов моря (материалы лаборатории гидрологии ИнБЮМ), то можно полагать, что исследовалась одна и та же популяция *P. elongatus*.

Сборы планктона производили сетью Джеди с диаметром входного отверстия 32 см и фильтрующим конусом из сита № 49 по стандартным слоям (0—10, 10—25, 25—50, 50—75, 75—100, 100—150 м). В течение суток делали шесть серий ловов через 4—5 ч. Одновременно с ловами зоопланктона на суточных станциях отбирали фитопланктонные пробы, вели гидрологические, гидрохимические и оптические наблюдения ( $T^{\circ}$ ,  $S\%$ , течения,  $O_2$ , фосфаты, освещенность). Всего собрано и обработано 112 проб планктона из 18 серий ловов по шести отмеченным выше вертикальным слоям. В слое 100—150 м *P. elongatus* в период наших исследований отсутствовал. В каждом слое исследовалось 12 стадий развития *P. elongatus*: яйца, науплиусы I, науплиусы II—III, науплиусы IV—V, науплиусы VI стадий, копеподиты от 1-й до 5-й стадии и половозрелые самки и самцы. Подсчет и измерение всех организмов производили в камере Богорова. Биомассу рассчитывали по средней массе *P. elongatus* для соответствующих размеров (Петипа, 1957).

Преимущественное место обитания каждой из стадий *P. elongatus* в данное время суток определяли из характера их вертикального распределения. В связи с тем, что кривая вертикального распределения численности *P. elongatus*, как правило, имела один максимум, то для каждого облавливаемого слоя определялась доля численности данной стадии *P. elongatus* в общей численности этих раков в исследуемой толще воды и затем вычислялась сумма произведений средних глубин каждого слоя на соответствующие этим слоям удельные численности *P. elongatus*. Таким образом находили глубину обитания каждой стадии. На первой суточной станции в одном случае популяция самок разделилась на две группы, из которых у одной, большей, наблюдалось типичное распределение, а вторая, меньшая по численности, поднялась в дневное время в слой 10—25 м. Нахождение этой группы в верхних слоях объясняется, по-видимому, слабой освещенностью, вследствие сплошной облачности, наблюдавшейся в период наших исследований. При определении средневзвешенной глубины обитания животных на первой станции эта группа самок во внимание не принималась. Предложенный метод нахождения преимущественного места обитания применяли также и для немигрирующих яиц и малоподвижных науплиусов I, II, III стадий *P. elongatus*, распределение которых в основном обусловлено поведением и местом обитания самок (см. табл. 3).

Дальнейшие расчеты по определению амплитуды и скорости миграций производили только для мигрирующих форм. Амплитуда миграций раков определялась по изменению глубины преимущественного места обитания

основной массы *P. elongatus* в течение суток, а максимальная амплитуда миграций определялась по крайним границам обитания раков во время их перемещений по вертикали. Скорость миграций определяли по отношению пройденного пути, или амплитуды миграции, к соответствующему времени миграции.

За продолжительность миграции условно принималось время, равное сумме промежутков (в часах) между сериями ловов планктона, в течение которого раки меняли место преимущественного обитания из верхнего слоя в нижний, или наоборот. Отсчет времени при определении продолжительности миграций производили от середины периодов каждой серии ловов.

Анализ изменения распределения основной массы мигрирующих раков во времени и в пространстве показал, что *P. elongatus* движется медленно, вследствие чего взятие серий проб планктона через 4—5 ч не может внести большой ошибки в определение скорости движения этого вида.

Оценивалось наличие размножения и питания у самок в период миграций. Первое осуществляли по соотношению в слоях количеств взрослых особей и яиц, второе — по нахождению пищи в кишечниках. Вскрытие кишечников производили только у взрослых *P. elongatus* с оценкой качественного состава съеденной ими пищи.

## РЕЗУЛЬТАТЫ

Вертикальное распределение *P. elongatus* в течение суток показано на рис. 1, 2, табл. 1, скорость миграций — на табл. 2, распределение численности самок и яиц *P. elongatus* — на табл. 3.

На примере первой суточной станции (5—6 июня) рассмотрим распределение всех возрастных стадий *P. elongatus*, основываясь на преимущественном месте обитания их основной массы. Результаты двух других суточных станций отражены в обсуждении.

Как видно из таблиц, самцы *P. elongatus* в течение суток обитали в слое 21—76 м. За период с 5 ч 10 мин до 10 ч 45 мин раки опускались с 60 до 76 м со скоростью 0,08 см/сек. Затем начался подъем и к 1 ч 40 мин самцы переместились на глубину 21 м. Весь подъем в верхний слой с амплитудой 55 м раки совершили за 13 ч 17 мин со средней скоростью 0,11 см/сек. К утру следующего дня самцы опустились до глубины 37 м со скоростью 0,1 см/сек.

Самки *P. elongatus* встречались 5—6 июня в толще воды от 24 до 80 м. Как и самцы, они ранним утром опустились с глубины 64 м до 78 м со скоростью 0,07 см/сек. Опускаясь в нижний слой, самки интенсивно питались и откладывали яйца (1842 экз./м<sup>3</sup>) (табл. 3). К ночи самки переместились на глубину 24 м со скоростью 0,3 м/сек, максимальная амплитуда перемещения составила 56 м. К утру следующего дня самки спустились на глубину 57 м, совершив путь за 4 ч 15 мин со скоростью 0,2 см/сек.

Копеподиты V стадии встречались в толще воды от 12 до 62 м. Они ведут себя несколько иначе, чем взрослые особи. Утром основная масса раков с глубины 62 м поднимается до глубины 12 м со скоростью 0,2 см/сек за 5 ч 40 мин. В 10 ч 50 мин раки достигли глубины 12 м. Такой ранний подъем был, очевидно, связан с большой облачностью и дождем, которые наблюдались в это время. К 14 ч 12 мин раки опустились до глубины 19 м со скоростью 0,05 см/сек за 6 ч 05 мин. К вечеру (20 ч 20 мин) раки опустились еще ниже, на глубину 37 м со скоростью 0,08 см/сек. Ночью раки снова поднялись на глубину 24 м со скоростью 0,07 см/сек, а к утру следующего дня опустились на глубину 45 м со скоростью 0,1 см/сек.

Копеподиты IV стадии в течение суток обитали в толще воды 20—60 м. Рано утром 5 ч 10 мин с глубины 37 м они опустились на глубину 60 м со скоростью 0,1 см/сек. Полный подъем с глубины 60 м до 20 м раки совер-

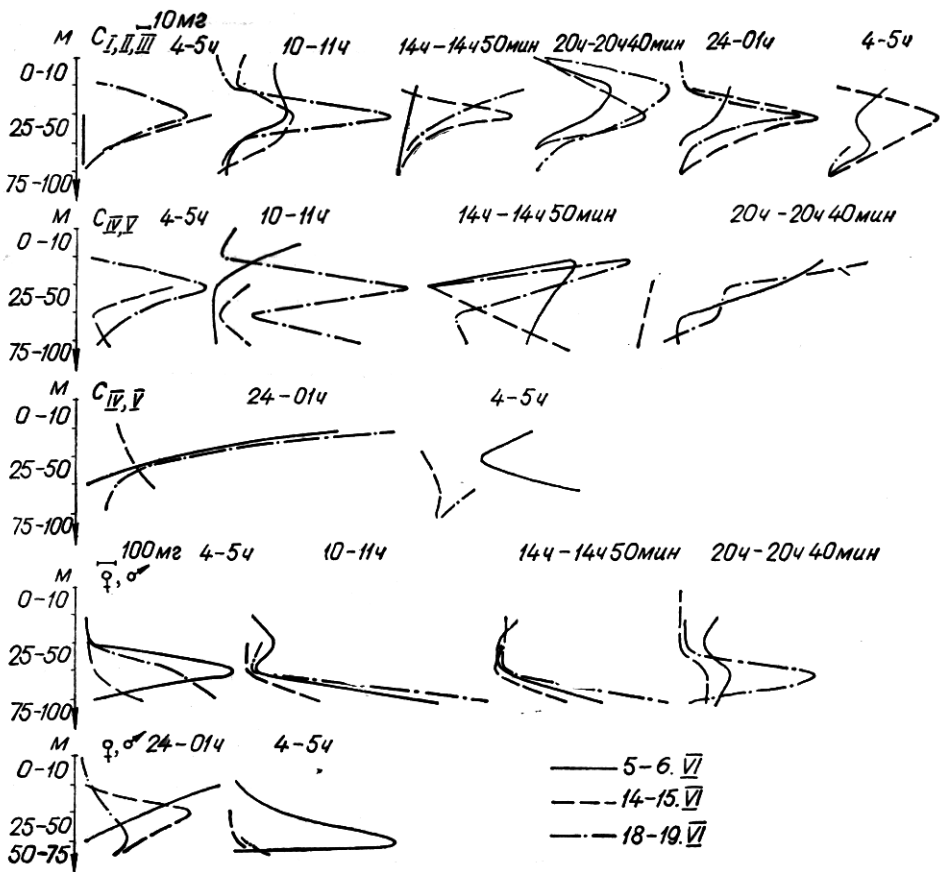


Рис. 1. Вертикальное распределение яиц и науплиусов *P. elongatus* в течение суток в Черном море.

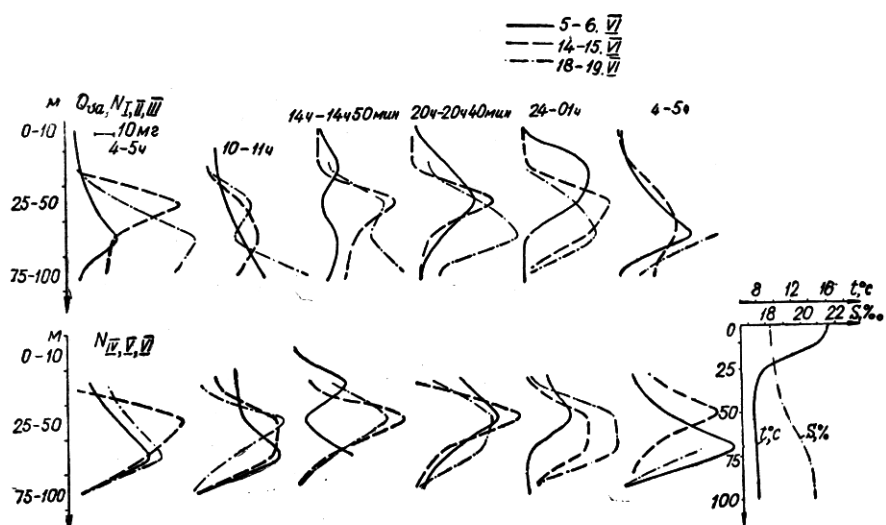


Рис. 2. Вертикальное распределение копеподитов и взрослых *P. elongatus* в течение суток в Черном море.

шили за 13 и 13 мин со скоростью 0,08 см/сек, при амплитуде миграции 40 м. К утру следующего дня ракки вновь спустились на глубину 36 м, пройдя путь 16 м со скоростью 0,1 см/сек.

Копеподиты III стадии обитали в толще воды 18—37 м. С 5 и 10 мин они начинают медленный подъем в верхние слои со скоростью 0,04 см/сек. К 14 и 22 мин ракки находились на глубине 18 м. Полный подъем копеподиты III стадии совершили за 9 и 17 мин с максимальной амплитудой 19 м.

Таблица 1

**Глубина (м) нахождения основной массы *Pseudocalanus elongatus* в Черном море**  
5—6. VI 1959 г.

Стадия развития	4 ч 45 мин— 5 ч 35 мин	10 ч 15 мин— 11 ч 25 мин	14 ч 00 мин— 14 ч 45 мин	20 ч 00 мин— 20 ч 40 мин	24 ч 45 мин— 01 ч 40 мин	4 ч 45 мин— 5 ч 35 мин
<i>Ova</i>	61	76	60	41	22	55
N I	48	55	37	41	32	49
N II—III	42	50	40	34	32	46
N IV—V	39	42	34	34	30	49
N VI	55	52	49	61	40	63
C I	38	43	18	33	30	50
C II	88	49	88	28	25	38
C III	37	29	18	26	25	27
C IV	37	60	22	29	20	36
C V	62	12	19	37	24	45
♀	64	78	72	80+	24	57
♂	60	76	74	44	21	37

+Часть популяции самок находилась в слое 10—50 м.

14—15. VI 1959 г.

Стадия развития	4 ч 50 мин— 5 ч 50 мин	10 ч 00 мин— 10 ч 55 мин	13 ч 03 мин— 13 ч 50 мин	20 ч 10 мин— 20 ч 58 мин	23 ч 45 мин— 24 ч 30 мин	5 ч 05 мин— 5 ч 48 мин
<i>Ova</i>	82	88	82	73	43	83
N I	100	67	52	43	56	50
N II—III	42	49	45	40	27	43
N IV—V	43	43	36	41	48	35
N VI	61	62	64	52	57	50
C I	46	45	41	42	49	49
C II	39	26	45	38	41	45
C III	42	58	40	35	36	41
C IV	42	52	66	44	52	64
C V	52	42	86	72	42	66
♀	82	86	85	73	43	85
♂	57	81	53	5	63	88

18—19. VI 1959 г.

Стадия развития	5 ч 50 мин— 5 ч 48 мин	10 ч 06 мин— 10 ч 55 мин	16 ч 57 мин— 17 ч 20 мин	20 ч 55 мин— 21 ч 35 мин	23 ч 45 мин— 24 ч 25 мин	5 ч 00 мин— 5 ч 49 мин
<i>Ova</i>	80	86	85	58	49	84
N I	60	83	61	70	64	66
N II—III	53	45	44	26	52	63
N IV—V	43	16	31	26	48	63
N VI	66	54	48	56	54	63
C I	42	24	37	38	44	62
C II	42	38	26	17	42	65
C III	42	38	22	24	36	62
C IV	33	51	25	25	36	70
C V	50	56	38	33	25	71
♀	75	85	62	60	60	86
♂	67	85	82	65	40	61

Таблица 2

Скорость миграционных движений *P. elongatus* летом 1959 г. в Черном море  
(средние показатели для трех односуточных станций)

Стадия развития	Подъем			Спуск		
	Путь, м	Продолжительность подъема, ч	Средняя скорость, см/сек	Путь, м	Продолжительность спуска, ч	Средняя скорость, см/сек
♀	43±11	11,4±1,5	0,11±0,040	46±17	12,3±1,8	0,10±0,008
♂	59±9	12,4±1,2	0,14±0,035	59±24	11,7±1,6	0,13±0,033
CV	49±8	13,8±1,7	0,10±0,029	55±7	11,0±1,9	0,15±0,040
CIV	32±8	7,6±0,8	0,11±0,012	51±6	15,8±1,4	0,09±0,018
CIII	21±1	12,0±1,3	0,05±0,006	24±9	12,5±1,4	0,05±0,018
CII	49±26	15,0±1,3	0,08±0,046	42±8	9,7±1,4	0,13±0,035
CI	15±6	7,6±1,3	0,06±0,023	29±10	15,4±1,2	0,05±0,015
NVI	22±2	13,0±0,9	0,04±0,012	20±8	10,8±1,1	0,05±0,020
NV—IV	21±6	8,9±0,3	0,07±0,017	29±12	12,0±1,4	0,06±0,020

Таблица 3

Распределение численности самок и яиц (экз/м<sup>3</sup>) *P. elongatus* в Черном море  
5—6. VI 1959 г. в течение суток

Время	10—25 м		25—50 м		50—75 м		75—100 м	
	Ova	♀	Ova	♀	Ova	♀	Ova	♀
4 ч 45 мин—5 ч 35 мин	—	42	149	25	952	698	229	137
10 ч 15 мин—11 ч 25 мин	119	30	333	167	140	31	1842	889
14 ч 00 мин—14 ч 45 мин	303	202	49	16	—	69	455	617
20 ч 00 мин—20 ч 40 мин	1157	343	547	119	367	296	231	198
24 ч 25 мин—01 ч 40 мин	3620	1181	640	320	9	1	9	—
4 ч 45 мин—5 ч 35 мин	152	35	320	240	1400	860	86	34

и скоростью движения 0,06 см/сек. К вечеру (20 ч 20 мин) раки начинают опускаться до глубины 26 м со скоростью 0,03 см/сек. Вечером, ночью и к утру следующего дня раки практически находились на одной глубине 25 м.

Копеподиты II стадии обитали в течение суток в толще 25—88 м. С раннего утра (5 ч 10 мин) основная масса раков начинает подъем и проходит путь 39 м со скоростью 0,2 см/сек. С 10 ч 50 мин раки вновь опускаются на глубину 88 м со скоростью движения 0,25 см/сек, пройдя путь 60 м. Вечером и ночью раки находились в поверхностном слое на глубине 25 м. К утру следующего дня раки снова опустились на глубину 38 м со скоростью 0,08 см/сек. Начало подъема в верхние слои у II копеподитов *P. elongatus* происходило в середине дня (14 ч 22 мин). Приход их в верхний слой отмечен в 1 ч 25 мин. Полный подъем раки совершили за 6 ч со скоростью 0,3 см/сек.

Копеподиты I стадии в течение суток находились на глубине 18—50 м. Ранним утром (5 ч 10 мин) раки с глубины 38 м опустились на глубину 43 м со скоростью 0,02 см/сек. К 14 ч 22 мин раки поднялись на глубину 43 м со скоростью 0,2 см/сек. К вечеру раки, пройдя 15 м со скоростью 0,06 см/сек, спустились в нижний слой на глубину 33 м, где находились всю ночь. К утру они переместились на глубину 50 м со скоростью 0,1 см/сек за 4 ч 13 мин.

Науплиусы *P. elongatus* в течение суток находились на глубине 40—63 м. Утром и днем науплиусы находились на глубине 50 м. К вечеру (20 ч 20 мин) науплиусы опустились на глубину 61 м со скоростью 0,02 см/сек. К ночи науплиусы поднялись на глубину 40 м со скоростью 0,1 см/сек, а к утру следующего дня переместились на глубину 63 м с той же скоростью, что и при подъеме (0,1 см/сек).

Старшие науплиусы (IV—V) *P. elongatus* в течение суток обитали в толще воды на глубине 30—49 м. С 10 ч 50 мин науплиусы начали подниматься со скоростью 0,02 см/сек и к ночи были на глубине 30 м. К утру следующего дня науплиусы опустились на глубину 49 м за 4 ч со скоростью 0,1 см/сек.

Основная масса яиц *P. elongatus* и науплиусов I—III стадий находились в течение суток в тех же слоях, где и самки (см. табл. 1, 3). Очевидно, распределение яиц и малоподвижных младших стадий науплиусов отражает распределение самок. Самки откладывали яйца в тех слоях, через которые они проходили во время миграций, где яйца и развивались в науплиусов младших стадий, которые в связи с быстрым развитием (Сажина, 1973) не успевают уйти из слоев, где происходил нерест.

## ОБСУЖДЕНИЕ

Средняя скорость движения взрослых особей *P. elongatus*, по полученным данным, в море составляет 0,12 см/сек, у старших копеподитов — 0,10—0,12, у младших копеподитов колеблется от 0,06 до 0,08, а у старших науплиусов равна 0,05 см/сек.

Средняя амплитуда перемещений при миграциях у взрослых *P. elongatus* равна 50 м, у старших копеподитов — 42, у младших копеподитов — 32, у старших науплиусов — 23 м.

Оценка достоверности различий скоростей движения всех возрастных стадий *P. elongatus* по критерию Фишера и Стьюдента при уровне значимости  $\alpha = 0,05$  показала, что средние скорости движения у возрастных групп, начиная от копеподитов IV стадии и старше, не различаются. Скорости движения младших копеподитных стадий и старших науплиусов также достоверно не различаются. Это позволило выделить у *P. elongatus* две группы: I — ♀, ♂, CV, VI и II—C III, II, I, N IV—VI, отличающиеся между собой по скорости движения. Для старших копеподитов и взрослых особей средняя скорость движения при подъеме и спуске соответственно равна  $0,115 \pm 0,035$  см/сек и  $0,120 \pm 0,037$ , для второй группы скорость движения была ниже — соответственно при подъеме и спуске —  $0,059 \pm 0,028$  и  $0,068 \pm 0,034$  см/сек.

Скорость движения старших копеподитов *C. helgolandicus* в море во время миграций, по данным Т. С. Петипа (1966), в среднем за сутки выше в два-три раза (0,33—0,38 см/сек) по сравнению с *P. elongatus*. В отдельные же часы, например, при интенсивном спуске, скорость движения *C. helgolandicus* может возрастать до 6 см/сек или в 50 раз. Скорость движения *A. clausi*, не отличающейся по размерам от *P. elongatus* в три-четыре раза выше (0,58 см/сек), чем у взрослых *P. elongatus*, а у науплиусов — 0,225 см/сек (Петипа, 1959). Скорость движения науплиусов *Calanus*, по данным Гарди и Бейнбриджа (Hardy, Bainbridge, 1954), равна 0,123 см/сек.

По нашим материалам, можно судить об отношении *P. elongatus* к изменению освещенности воды. Как отмечалось выше, самки *P. elongatus* на первой суточной станции в дневное время поднялись в поверхностные слои (10—25 м) во время большой облачности, другая часть популяции самок оставалась в глубинных водах (75—100 м). Все копеподиты за исключением IV стадии, вместо спуска к 11 ч стали подниматься в поверхностный слой.

Скачки плотности и температура не оказывают существенного влияния на величину амплитуды миграций *P. elongatus*, т. е. не задерживают миграции. Это видно на примере распределения самцов и самок на 2-й суточной станции: самцы 14—15 июня в 20—21 ч поднялись в самый поверхностный слой 0—10 м через скачок температуры, в 5—6 ч утра опустились в слой 75—100 м через скачок солености. Самки утром или днем на всех

трех суточных станциях находились в слое 75—100 м, т. е. ниже всех плотностных скачков (рис. 2).

Самки и копеподитные стадии в верхний слой практически не поднимаются, а держатся в слоях 10—25 или 25—50 м, где они, по-видимому, интенсивно питаются. Наибольшее количество потребляемых форм фитопланктона и наблюдается именно в слое 10—25 м (Петипа, 1965). Вскрытия кишечников показали, что *P. elongatus* потребляет те клетки водорослей, которые в больших количествах содержатся в этих слоях. Наблюдались случаи, когда раки питались в слоях 50—75 и 75—100 м, не поднимаясь в верхний слой. В этих слоях обильно развивались *Nitzschia seriata*, которые и были обнаружены в кишечниках. При вскрытии кишечников у раков нами найдены следующие виды фитопланктона: из *Peridinea* — *Exuviaella cordata*, *E. compressa*, *Prorocentrum micans*, *Glenodinium* sp., *Peridinium steinii* и др., из *Diatomea* — *Cyclotella caspia*, *Chaetoceros, insignis*, *Nitzschia seriata* и др. Эти же виды фитопланктона служили хорошим кормом самкам *P. elongatus* в экспериментах (Делало, 1964; Печень-Финенко, Павловская, 1973). Результаты наших вскрытий кишечников у самцов, данные Ю. А. Загородней (1974), а также сведения о строении ротовых конечностей (Петипа, 1975) показывают, что самцы не питаются.

## ВЫВОДЫ

Изучены миграции и определена средняя скорость движения при миграциях в море в июне 1959 г. у всех возрастных стадий *P. elongatus*.

Установлено, что у старших науплиусов *P. elongatus* средняя скорость движения при спуске и подъеме была равна  $0,055 \pm 0,021$  см/сек, у младших копеподитов она при подъеме составляла  $0,063 \pm 0,032$ , а при спуске —  $0,077 \pm 0,046$ , у старших копеподитов соответственно при подъеме —  $0,105 \pm 0,023$ , при спуске —  $0,120 \pm 0,045$ , у взрослых особей скорость движения при подъеме и спуске была почти одинакова  $0,125 \pm 0,041$  и  $0,120 \pm 0,03$  см/сек.

Амплитуда перемещений взрослых *P. elongatus* в море при миграциях колебалась на всех суточных станциях от 26 до 76 м, у старших IV—V копеподитов — от 22 до 50, у младших I—III копеподитов от 8 до 63, у старших науплиусов — от 13 до 47 м. В среднем амплитуда миграций у *P. elongatus* от старших науплиусов к взрослым формам изменялась от 23 до 50 м.

У *P. elongatus*, в противоположность *C. helgolandicus*, не наблюдается быстрых подъемов и спусков во время суточных вертикальных миграций. Как правило, они переходят из слоя в слой постепенно с остановками и повторными подъемами и спусками. Медленно поднимаясь к поверхности или опускаясь в глубокие слои, *P. elongatus* питается и размножается по всей вертикальной толще вод в любые часы суток.

## ЛИТЕРАТУРА

- Африкова С. Г. Распределение *Pseudocalanus elongatus* (Boeck) в Черном море.— Гидробиол. журн., 1975, № 5.
- Делало Е. П. О суточном ритме в питании *Pseudocalanus elongatus* (Boeck). — Тр. Севаст. биол. ст., 15, 1964.
- Загородняя Ю. А. Питание и миграции черноморского *Pseudocalanus elongatus* (Boeck) в зимний период.— Гидробиол. журн. 1974, № 5.
- Йлев В. С. Расход энергии при движении креветок.— Зоол. журн., 1963, 42, 10.
- Лукьянова В. С. К изучению влияния температуры и солености на скорость движения пресноводных организмов.— Зоол. журн., 1938, т. 17, N 2.
- Лукьянова В. С. О максимальных скоростях морских планктонов.— ДАН СССР, 1940, т. 28, № 7.
- Петипа Т. С. О среднем весе основных форм зоопланктона Черного моря.— Тр. Севаст. биол. ст., т. 9, 1957.
- Петипа Т. С. Питание веслоногого рака *Acartia clausi* Glesbr.— Тр. Севаст. биол. ст., т. 11, 1959.

*Петина Т. С.* Избирательная способность в питании *Calanus helgolandicus* (Claus).— В кн.: Исследования планктона Черного и Азовского морей. К., «Наукова думка», 1965.  
*Петина Т. С.* Об энергетическом балансе у *Calanus helgolandicus* (Claus) в Черном море.— В кн.: Физиология морских животных. М., «Наука», 1966.

*Петина Т. С.* Происхождение и классификация основных экологических типов питания Сорерода *Calanoida*.— В кн.: Биология моря, вып. 33. К., «Наукова думка», 1975.

*Печень-Финенко Г. А., Павловская Г. В.* Живое и мертвое органическое вещество в питании *Pseudocalanus elongatus* (Boeck) из Черного моря.— В кн.: Материалы Всесоюз. симпоз. по изуч. Черного и Средиземного морей, использ. и охране их ресурсов, 2. К., «Наукова думка», 1973.

*Сажина Л. И.* Рост массовых копепод Черного моря в лабораторных условиях.— В кн.: Биология моря, вып. 28. К., «Наукова думка», 1973.

*Рудяков Ю. А.* Скорость пассивного вертикального перемещения планктонных организмов.— Океанология, 1972, т. 12, вып. 6.

*Рудяков Ю. А., Воронина Н. М.* Суточные вертикальные миграции копеподы *Metridia gerlachei* в море Скотия.— Океанология, 1973, т. 13, вып. 3.

*Шулейкин В. В., Лукьянова В. С., Стась И. И.* Сравнительная динамика морских животных.— ДАН СССР, 1939, т. 22, № 7.

*Hardy A. C., Bainbridge R.* Experimental observations on the vertical migration of plankton animals.— J. Mar. Biol. Ass., 1954, v. 33.

Институт биологии южных морей  
АН УССР, Севастополь

Поступила в редакцию  
7.I 1975 г.

А. В. Карпенко

## КОЛИЧЕСТВЕННАЯ ХАРАКТЕРИСТИКА ПИТАНИЯ МОЛОДЫХ БЫЧКА-КРУГЛЯКА (*GOBIUS MELANOSTOMUS PALLAS*) В ЭКСПЕРИМЕНТАЛЬНЫХ УСЛОВИЯХ

В настоящее время в связи с решением ряда вопросов, связанных с акклиматизацией и искусственным выращиванием морских рыб, большое значение приобретает изучение количественных характеристик питания и пищевых отношений организмов.

Несмотря на важность изучения данного вопроса, сведений, касающихся определения пищевых потребностей рыб на ранних этапах развития, в литературе крайне мало (Крохин, 1957; Винберг, 1956; Рыжков, 1974; Липская, 1961; Кудринская, 1969; Панов, Сорокин, Мотенкова, 1969; Мельничук, 1970, 1973, и др.).

Распределение, рост, пищевые взаимоотношения молоди бычков Азовского моря в естественных условиях рассматривает Г. П. Трифонов (1955). Сведения о суточном ходе питания, продолжительности прохождения пищи через кишечник, суточном рационе бычков кругляка и рыжика приведены в работе Е. Н. Куделиной (1963). Некоторые данные по рационам и приростам бычков Азовского моря даны Е. М. Рейх (1969). Данных по питанию молоди бычка-кругляка в Черном море в литературе нет.

Задачей настоящей работы было получение количественных характеристик питания (величин суточных рационов, пищевых потребностей) и изучение прироста молоди в разных условиях содержания. На основании количественных данных по питанию, величин потребления кислорода и приростов проведен расчет баланса энергии. Работа основана на экспериментальных наблюдениях.

### МАТЕРИАЛ И МЕТОДИКА

Мальков бычка-кругляка для экспериментальных работ получали из кладок икринок, собранных в море в июне 1973 и 1974 гг.

Бычок-кругляк нерестится в прибрежной зоне, откладывает икру на нижнюю поверхность камней, в створки погибших моллюсков, на поверх-